

ნორინგ მოლოდინი, რევაზ მოლოდინი

## ლენტური პონვეირის ჩვეულებრივი და გაძუშვაღოლური ამძრავები

მეთოდიკური მითითებები ლაბორატორიული  
სამუშაოების შესასრულებლად

„ტექნიკური უნივერსიტეტი“

საქართველოს ტექნიკური უნივერსიტეტი

ნორინგ მოლოდინი, რევაზ მოლოდინი

ლენტზრი პონდეიირის ჩვეულებრივი და  
გაცუზმდოლური ამძრავები

მეთოდიკური მითითებები ლაბორატორიული  
სამუშაოების შესასრულებლად



რეკომენდებულია საქართველოს  
ტექნიკური უნივერსიტეტის  
სარედაქციო-საგამომცემლო საბჭოს  
მიერ. 28.10.2015, ოქმი №2

თბილისი  
2018

აგზორთა მიერ შედგენილი მათემატიკური მოდელი ასახავს ამძრავისა და საკონვენიურო ლენტის საკონტაქტო ზედაპირების ვაკუუმში მუშაობის უპირატეს პირობებს. მათ მიერ შემოდებული ცნება „საკუთარი წევის ფაქტორის“ შესახებ რეალურია, ვინაიდან ვაკუუმდოლურ ამძრავს ლენტის მინიმალური საწყისი დაჭიმულობითაც კი შეუძლია ჩვეულებრივ ხახუნის ამძრავთან შედარებით, უპირატესად მეტი წევის ძალის განხორციელება.

კარგად არის გადმოცემული თეორიული კვლევის შემოწმების ექსპერიმენტული ნაწილიც. დამაკმაყოფილებელ საზღვრებშია თეორიული და ექსპერიმენტული კვლევის შედებს შორის განსხვავებაც.

წიგნი იბეჭდება პირველად და განკუთვნილია საკონვენიურო ამძრავების მუშაობის შესწავლით დაინტერესებულ პირთათვის, მათ შორის: ბაკალავრიატის, მაგისტრატურისა და დოქტორანტურის სტუდენტებისათვის.

**რეცენზენტები:** საქართველოს ტექნიკური უნივერსიტეტის სამთო-გეოლოგიური  
ფაკულტეტის პროფესორი უშანგი კავთიაშვილი,

საქართველოს ტექნიკური უნივერსიტეტის სამთო-გეოლოგიური  
ფაკულტეტის პროფესორი მირიან წერეთელი

© საგამომცემლო სახლი „ტექნიკური უნივერსიტეტი“, 2018

ISBN 978-9941-28-404-5 (PDF)

<http://www.gtu.ge>

ყველა უფლება დაცულია. ამ წიგნის არც ერთი ნაწილის (იქნება ეს ტექსტი, ფოტო, ილუსტრაცია თუ სხვა) გამოყენება არააირი ფორმით და საშუალებით (იქნება ეს ელექტრონული თუ მექანიკური) არ შეიძლება გამომცემლის წერილობითი ნებართვის გარეშე.

საავტორო უფლებების დარღვევა ისჯება კანონით.



## შ ე ს ა ვ ა ლ 0

მრეწველობის და მეურნეობის განვითარებისა და მომსახურების სფეროს სრულყოფისათვის უდიდესი მნიშვნელობა აქვს არსებული სახის სატრანსპორტო საშუალებების ოპტიმალურ და მიზანსწრაფულ გამოყენებას, რისთვისაც საჭიროა მათი რეკონსტრუქცია და სრულყოფა, ცხოვრებისა და კონკრეტული პირობების მიერ დასმული პრობლემების შესაბამისად.

უდიდესი მნიშვნელობა აქვს როგორც სამთამადნო, ისე სხვა საწარმოების სატრანსპორტო მანქანების ოპტიმალურ და სრულყოფილ ექსპლუატაცია-მომსახურებას, რისთვისაც საჭიროა მათი პერსპექტიული სახეების, დანიშნულების, გაუმართაობის, მტყუნების მიზეზებისა და გაუმჯობესების მიმართულებათა ღრმად შესწავლა-ანალიზი.

ამჟამად გარეგანი ხახუნის ბუნებაზე ცნობილია რამდენიმე თვალსაზრისი და მისი განმარტებისათვის შემოტანილია ცნებები: მოხახუნე ზედაპირების ურთიერთ გადაფარვის კოეფიციენტის (ა. ჭიჭინაძის მიერ), ხახუნის ორმაგი ბუნების (მოლეკულურ-მექანიკური), საკონტაქტო ზედაპირებს შორის მესამე – ხახუნის შრის; პლასტიკური, დრეკადი და დრეკად-პლასტიკური დეფორმაციის; ადგეზიური, კოგეზიური, სიმშვიდის, სრიალისა და გორვის, სველი, ზღვრული და მშრალი ხახუნის, ჰისტერეზისის, მოლეკულური (შედუღების) ბოგირაკების, მყარი ფაზის წაკვეთის, ზედაპირზე კაგშირების მიმართული რეკომბინაციისა და სხვა. ხახუნი დისიპაციური პროცესია, იგი შესაბამისად მიმდინერეობს წინაღობების გადალახვასა და საკონტაქტო ზედაპირების ფორმის ცვლილებებში, დამოკიდებულია მრავალ რეოლოგოურ ფაქტორზე, ამიტომ ხშირად ავტორთა კვლევის შედეგები ურთიერთს სრულად არ ემთხვევა და იწვევს პოლემიკას. მაგალითად, კვლევების მიხედვით, ხახუნის კოეფიციენტი უმნიშვნელოდ იცვლება და ნორმალური ძალის 16-ჯერადი გაზრდა ხახუნის კიეფიციენტს ზრდის მხოლოდ ორჯერ. გერმანიასა და ჩეხეთსლოგაკიაში შესრულებული კვლევითი სამუშაოების მიხედვით კი დოლისა და ლენტის საკონტაქტო ზედაპირებზე კუთრი წნევის  $10^5$ -დან –  $7 \times 10^5$  პა-მდე გაზრდით (დოლის საკონტაქტო ზედაპირის მაღალფრიქციული სწორგუთხანაჭდებიანი რეზინით ამოგების მიუხედავად) ხახუნის კოეფიციენტი მცირდება 0,7-დან 0,46-მდე, ხოლო თუ საკონტაქტო ზედაპირები ამავდროულად სველდება და კალიუმის მარილების ან თიხის შემცველი ხსნარით ჭუჭყიანდება, მაშინ ხახუნის კოეფიციენტი 0,7-დან 0,11-მდე და უფრო მეტადაც. ხახუნის კოეფიციენტის ფუნდა-

მენტურ კვლევებში აღნიშნულია, რომ დაშვებები ლაბორატორიული ექსპერიმენტების დროს, რომელიც ითვალისწინებს მხოლოდ მოხახუნე სხეულების ბუნების გავლენას ხახუნის კოეფიციენტის სიდიდეზე, არასაკმარისია და უფრო მეტად იგი დამოკიდებულია მოგვიანებითი და თანამედროვე კვლევებში მოტანილ ცნებებსა და პირობებზე, რომელსაც, როგორც აღვნიშნეთ, ზოგადად რეოლოგიური ეწოდება.

ყურადსალებია ერთი შენიშვნა [2]: თუ მყარი ტანის ზედაპირი გათავისუფლებულია აფსკისაგან (რაც შეიძლება განხორციელდეს ვაკუუმში ან მკაცრგანსაკუთრებულ რეჟიმში ხახუნისას), მაშინ გარეგანი ხახუნი გადადის შინაგანში, ზედაპირები ეჭიდება-დუღდება და ერთიმეორის მიმართ გადაადგილებისას მნიშვნელოვნად ზიანდებიან. ზოგჯერ ამ მოვლენას „სუფთა ხახუნს“ უწოდებენ, თუმცა მისი გარეგანი ხახუნად განხილვა არსებითად არ შეიძლება. პარადოქსულია შარლოტა იაკობის 1912 წელს შესრულებული პირველი სამუშაოს შედეგები. ვაკუუმში ხახუნის კოეფიციენტის მნიშვნელობა აღმოჩნდა ბევრად დაბალი, ვიდრე ჰაერზე [1]. შემდგომში მისი ცდის მეთოდიკის არასრულფასოვნება დადასტურდა. უახლესმა კვლევებმა უჩვენეს, რომ ვაკუუმში ხახუნი არ წარმოადგენს პრინციპულად ახალ პროცესს. იგი ემორჩილება იმავე ზოგად კანონზომიერებებს, რასაც ატმოსფერულ პირობებში. კერძოდ, ვაკუუმში ხახუნისათვის სრულიად მიზანშეწონილია ხახუნის მოლეკულურ-მექანიკური თეორია. ასევე მითითებულია, რომ ვაკუუმში ხახუნის ადგეზიური მდგენელი გაცილებით მაღალია, ვიდრე ჰაერის გარემოში, შესაბამისად, დიდი უნდა იყოს ხახუნის კოეფიციენტიც [1,2,4].

წინამდებარე ნაშრომი წარმოადგენს ლენტური კონვეირების ვაკუუმური ამძრავების საკონტაქტო ზედაპირების ოპტიმალური პარამეტრების კვლევისადმი მიძღვნილ სამუშაოს, რომელიც ძირითადად ემყარება (სველი ხახუნის პირობებში) ამძრავის მოხახუნე ზედაპირების (ვაკუუმ-დოლი, საკონვეირო ლენტი) სტანდარტულ პარამეტრებს და ითვალისწინებს მთელ საკონტაქტო ზედაპირზე ვაკუუმის თანაბრად განაწილების უზრუნველყოფას, საკონვეირო ლენტის პარამეტრების (სიმქისე, სიხისტე, კონსტრუქცია, კუთრი დაწევა, გაგლეჯის ზღვარი და ა.შ.) გათვალისწინებით.

## ლაბორატორიული სამუშაო № 1

1. ლენტური კონვეიერის ერთდოლიანი ჩვეულებრივი ამძრავის თეორიული ფაზითი თვისების ექსპრიმენტული შემოწმება

### 1.1. სამუშაოს მიზანი

სამუშაოს მიზანია მოქნილ საწევ ორგანოზე ხახუნის ამძრავი მექანიზმით (დოლით) წევის ძალების თეორიული მნიშვნელობის ექსპერიმენტული წესით შემოწმების მეთოდების გაცნობა, აგრეთვე ანგარიშისა და სტენდური კვლევების საფუძველზე მიღებული მონაცემებით, ამძრავის წევითი თვისების გამომსახველი თეორიული და ექსპერიმენტული გრაფიკების აგება და ცდომილებათა ანალიზი. გამზომი აპარატურის საშუალებითსამუშაოს შესრულების პროცესში, სტუდენტები გამოიმუშავებენ ექსპერიმენტული კვლევების ჩატარების ჩვევებს და გაეცნობიან ექსპერიმენტის შედეგების დამუშავების მეთოდებს.

### 1.2. თეორიული ფანამძღვრები

ლენტური კონვეიერის ჩვეულებრივი ამძრავის ნორმალური მუშაობის ძირითად პირობას წარმოადგენს, გარეგანი ხახუნით წევის ძალების გადაცემა, დოლზე ლენტის სრიალის გარეშე-ეს პირობა მათემატიკურად აღიწერება ეილერის ფორმულით

$$S_{\text{ლ}} / S_{\text{მ}} \leq e^{\mu \alpha} \quad (1.1)$$

სადაც  $S_{\text{ლ}}$  – არისამძრავ დოლზე სწრაფობის წერტილში საკონვეიერო ლენტის დაჭიმულობა.

$S_{\text{მ}}$  – ამძრავი დოლიდან ჩამოქანების წერტილში საკონვეიერო ლენტის პროგრამული (საწყისი) დაჭიმულობა;

$e^{\mu \alpha}$  – ამძრავი დოლის წევის ფაქტორი  $\alpha = 2,71 - \frac{1}{n}$  ლოგარითმის ფუძე ( $n$  გარერის რიცხვი);

$\mu$  – ამძრავ დოლზე საკონვეიერო ლენტის ჩაჭიდების კოეფიციენტი (იხ. ცხრილი 1.1);

$\alpha$  – ამძრავ დოლზე საკონვეიერო ლენტის შემოხვევის კუთხე, რად (გრადუსებში).

ამძრავის მიერ განვითარებული წევის ძალა, საყრდენ საკისრებში წარმოშობილი წინააღმდეგობების გათვალისწინების გარეშე.

$$\mathbf{F} = \mathbf{S}_{\text{ს}} - \mathbf{S}_{\text{b}} \quad (1.2.)$$

$$\mathbf{F} = \mathbf{S}_{\text{b}} (\mathbf{e}^{\mu_a} - 1) \quad (1.3.) \#$$

(1.3.) გამოსახულებაში ( $\mathbf{S}_{\text{b}}$ ) პროგრამული დაჭიმულობა ვცვალოთ  $50...500$  დკნ ფარგლებში,  $50$  დკნ ძალის ბიჯით; ხოლო ( $\mathbf{e}^{\mu_a}$ ) - წევის ფაქტორის თეორიულ მნიშვნელობას ვანგარიშობთ ცხრილიდან (1.1.). შერჩეული ჩაჭიდების  $\mu$  კოეფიციენტისა და დოლზე ლენტის ფაქტურიშემოხვევის კუთხის მიხედვით (ცდის ჩატარების ყველა დეტალი; მაგალითად, ამძრავის სამუშაო პირობა, ამონაგის ხასიათი,  $\mu - s$  შერჩევის წესი და ა.შ. უნდა მიუთითოს ლაბორატორიული სამუშაოს მასწავლებელმა), ან ვიღებთ სპეციალური ცხრილიდან (ცხრილი 1.2).

(1.3) ფორმულით ნაანგარიშევი წევის  $\mathbf{F}_s$  ძალის მნიშვნელობები უნდა შევიტანოთ ცხრილი 1.3-ის გრაფებში დოლისა და ლენტის მუშაობის შესაბამის საკონტაქტო პირობებისათვის. შესაბამისი საკონტაქტო პირობები კი განისაზღვრება ცხრილში 1.1. მოცემული პირობების მიხედვით  $24$  ვარიანტიდან რომელიმე მათგანი. (მაგალითად, სამუშაო პირობისა და ამონაგის გათვალისწინებით,  $\mu_{o,1,3}$  - ითვალისწინებს: მშრალ, სუფთა პირობას; მეტალის გაჩარხული დოლისათვის.  $\mu_{o,3,7}$ -სველი ვაკუუმ-დოლისათვის და ა.შ.)

### ცხრილი 1.1.

#### დოლზე ლენტის ჩაჭიდების კოეფიციენტის მნიშვნელობები

№	ამძრავი დოლის ამონაგი		გებრადანაბრენებული ალი	გლუცინიტიანი ლენტის (შრომის სეგმენტით 60 ერთ სიგრძით) გებრადანა ბრი 8 გბ	პირადულებები თვილების გებრადანა ბრი 75 ერთ.სიგრძით (შრომის გებრადანა ბრი 75 ერთ.სიგრძით)	გერაციული აგრძელები 11 გბ	გაგებული გებრადანაბრი
	1	2					
1.	ოდნავ ტენიანი სითხე (წყალი) $1-2\text{გრ}/\text{მ}^2$ სა- კონტაქტო ფართობზე		0,1...0,15	0,4	0,4	0,6	
2.	მშრალი, სუფთა		0,5...0,6	0,6...0,7	0,5...0,6	0,6...0,7	
3.	ძლიერ ტენიანი, წყლის რაოდენობა $50 \text{ გრ}/\text{მ}^2$		0,1	0,25...0,3	0,3...0,35	0,5...0,6	0,63
4.	თიხნარით ძლიერ და- ჭუჭყიანებული. თიხის რაოდენობა $300 \text{ გრ}/\text{მ}^2$ $3\%$ წყალი		0,05	0,15...0,25	0,1...0,15	0,25...0,35	

## ცხრილი 1. 2.

### $e^{\mu\alpha}$ -წევის ზაქტორის მნიშვნელობები

$\mu$	$\alpha^0$ , რად.	180	185	190	195	200	205	210	220	240	270
	3,14	3,23	3,32	3,4	3,5	3,58	3,67	3,84	4,19	4,71	
0,05		1,17	1,17	1,18	1,18	1,19	1,19	1,20	1,21	1,23	1,26
0,1		1,37	1,38	1,39	1,41	1,42	1,43	1,44	1,47	1,52	1,60
0,15		1,6	1,62	1,65	1,67	1,69	1,71	1,73	1,78	1,88	2,03
0,2		1,88	1,91	1,94	1,98	2,01	2,05	2,08	2,16	2,31	2,57
0,25		2,2	2,24	2,29	2,34	2,4	2,45	2,5	2,62	2,86	3,25
0,3		2,57	2,64	2,71	2,78	2,85	2,93	3,01	3,17	3,52	4,12
0,35		3,01	3,1	3,2	3,3	3,4	3,5	3,61	3,84	4,34	5,22
0,4		3,52	3,65	3,78	3,91	4,05	4,19	4,34	4,65	5,35	6,6
0,5		4,81	5,02	5,26	5,47	5,75	5,99	6,26	6,82	8,12	10,54
0,6		6,58	6,94	7,33	7,69	8,17	8,57	9,04	10,01	12,35	16,88
0,7		9,02	9,59	10,22	10,80	11,59	12,25	12,94	14,70	18,78	27,03

(1.3) ფორმულით ნაანგარიშევი წევის  $F_{\alpha}$  ძალის მნიშვნელობები უნდა შევიტანოთ ცხრილი 1.3-ის გრაფებში დოლისა და ლენტის მუშაობის შესაბამის საკონტაქტო პირობებისათვის. შესაბამისი საკონტაქტო პირობები კი განისაზღვრება ცხრილში 1.1. მოცემული პირობების მიხედვით.

24 ვარიანტიდან რომელიმე მათგანი (მაგალითად, სამუშაო პირობისა და ამონაგის)  $F_{\alpha}$  იანგარიშება სტუდენტის მიერ იმ ვარიანტისათვის, რომლისთვისაც მომზადებულია ლაბორატორიული სამუშაო (მიუთითებს მასწავლებელი). ლაბორატორიული სამუშაო სრულდება სტენდზე (ნახ.1.1.), რომელიც აღწერილია ქვემოთ.

### 1.3. ლაბორატორიული სტენდის აღჭრა

სტენდის სქემა წარმოდგენილია ნახ.1.1-ზე. სტენდი შედგება შემდეგი ძირითადი ნაწილებისაგან: ამძრავი დოლისაგან - 1, რომელიც ყოველი კონკრეტული ლაბორატორიული ამოცანის შესრულებისას, გარკვეული პოზიციით ფიქსირდება დგარზე. დოლზე რაიმე  $\alpha$  ( $\alpha \leq 90 \dots 270^\circ$ ) კუთხით შემოხვეულია ლენტი - 2, რომლის დოლიდან ჩამოქანების შტო დინამომეტრის - 3 საშუალებით ხისტად ფიქსირდება დგამზე, დოლზე ლენტის სწრაფობის შტო კი ფოლადის ბაზირისა და დინამომეტრის - 5 საშუალებით უკავშირდება ლენტის დაჭიმულობის შემქმნელ - 4 მექანიზმს. აღწერილი სტენდით ხდება ჩვეულებრივი ტიპის ამძრავი დოლების წევის ძალების (წევის ფაქტორის) ექსპერიმენტული კვლევა.

საქვლევი ამძრავი დოლის პარამეტრებია:

- ტიპი – აგზ-1
- დიამეტრი – 0,36 მ;
- სიგანე – 0,52 მ;

დინამომეტრები

I. ტიპი DПY - 0,5

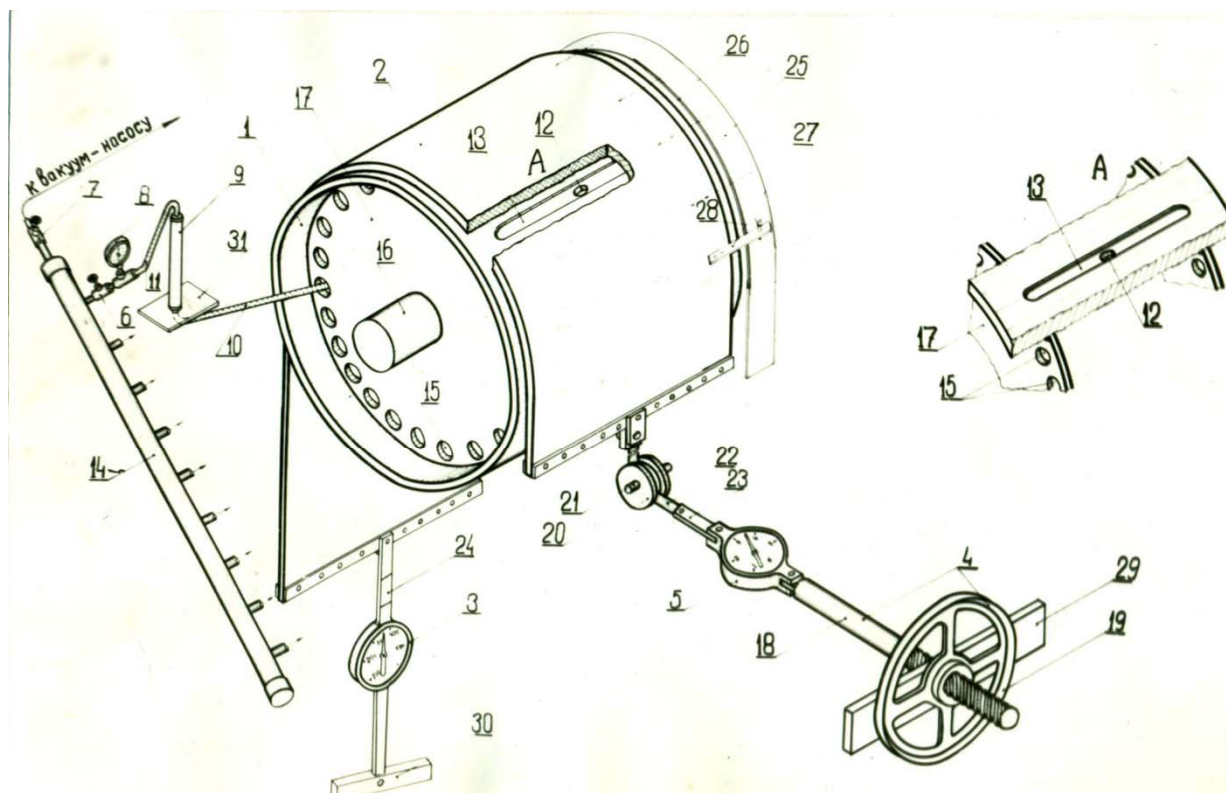
- მაქსიმალური დასაშვები ძალა – 500 დკნ
- დანაყოფის ფასი სკალაზე – 5 დკნ.

II. ტიპი DПY - 5,0

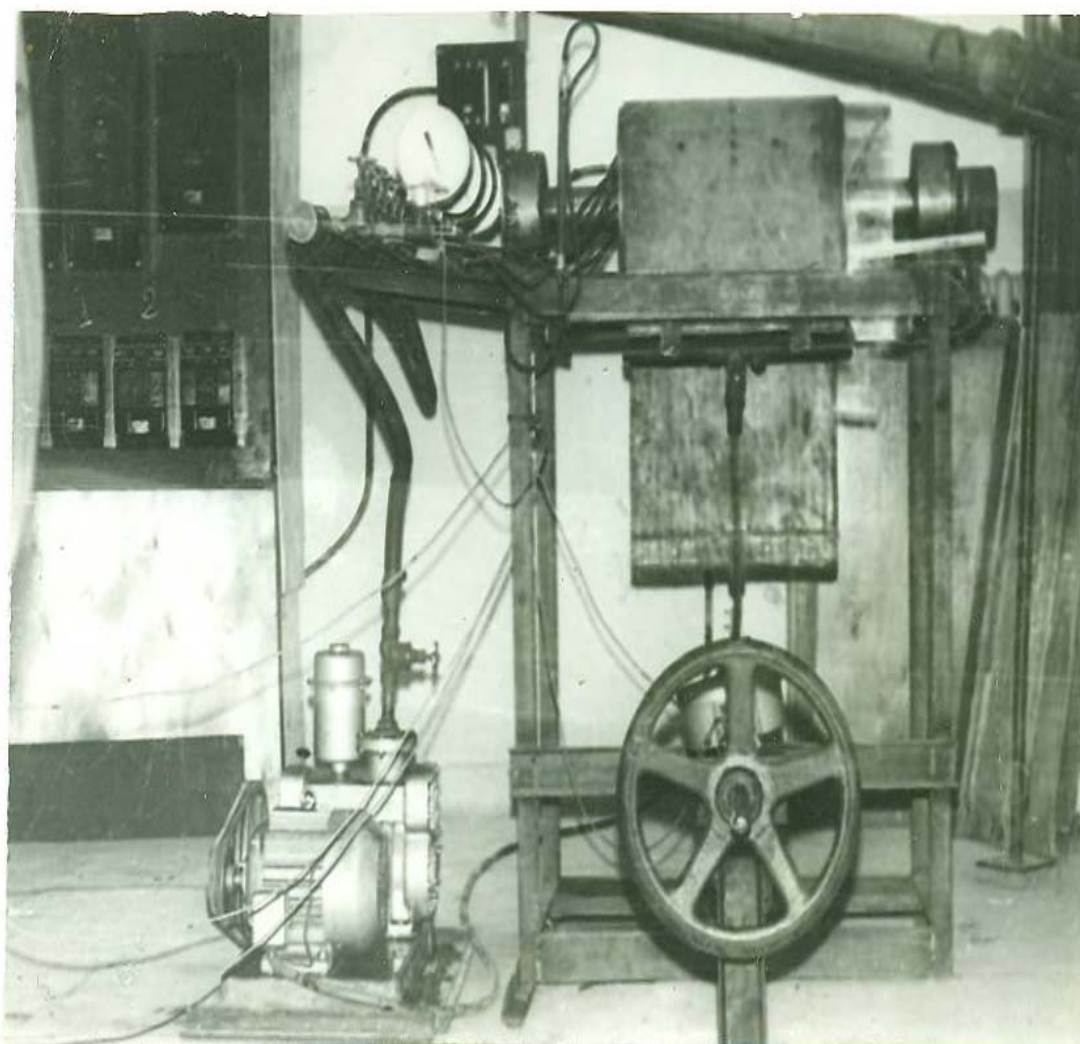
- მაქსიმალური დასაშვები ძალა – 5000 დკნ

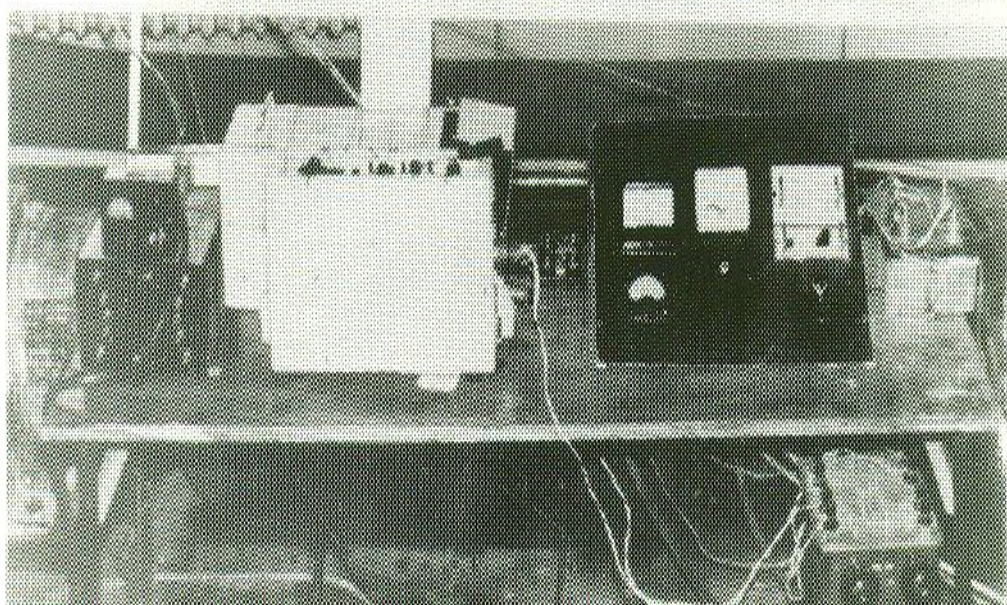
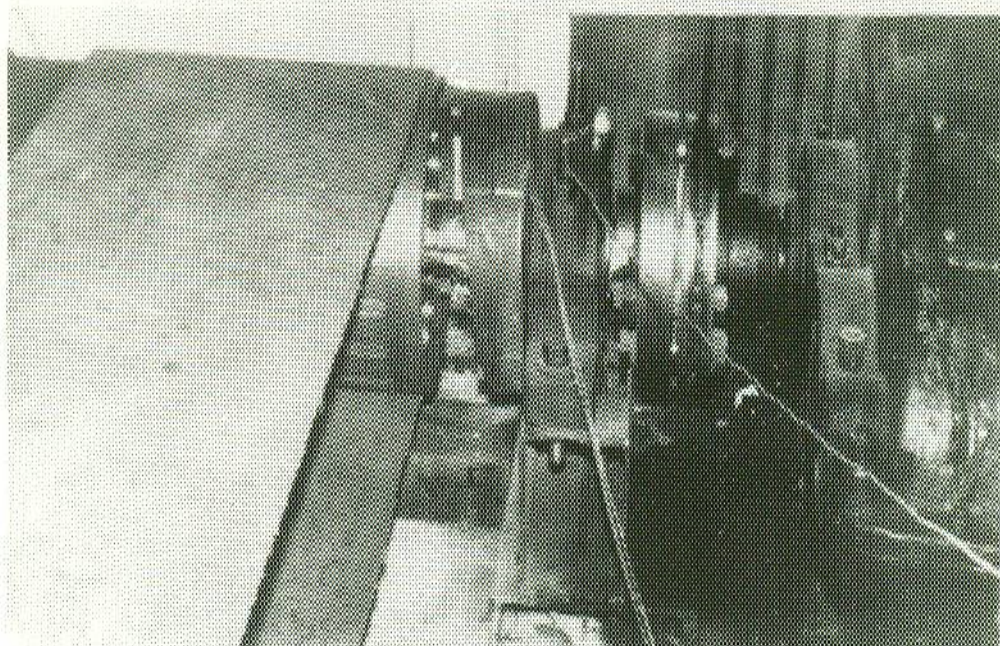
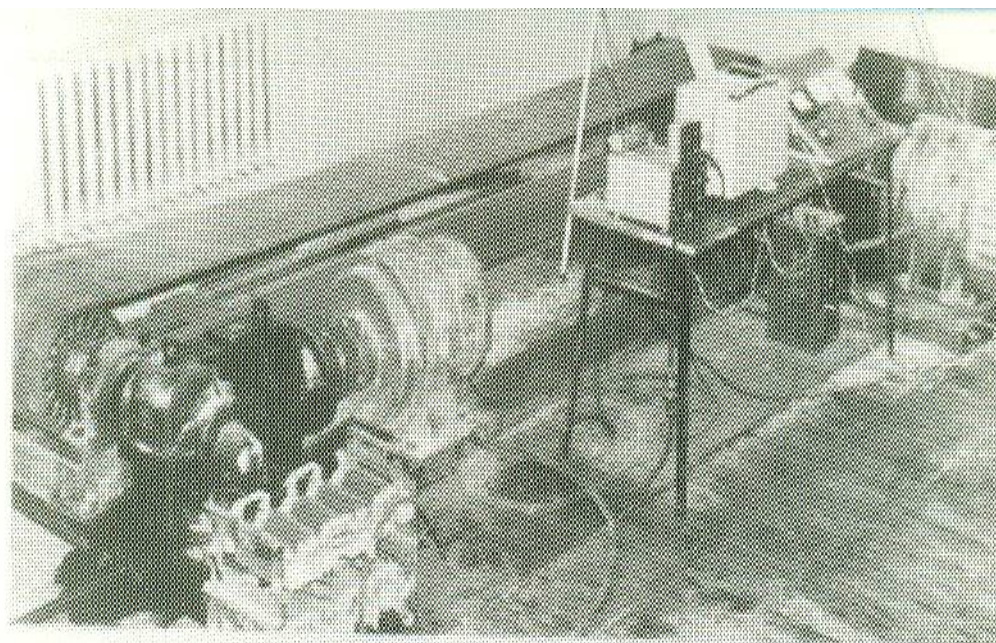
### ცხრილი 1.3

№	1 ... n $S_f$ $S_{b\sqrt{\sigma}}$	1	2	3	4	5	6	7	8	9	10	შენიშვნა
		50	100	150	200	250	300	350	400	450	500	
1												
2												
3												
4												
5												
6												
7												
8												
9												
10												
11												
12												



ნარ. 1.1 ვაკუუმ-ღოღის საკვრევი სტენდი





დანაყოფის ფასი სკალაზე – 50 ლ. დოლი დგარზე მაგრდება ხისტად. ენტის ჩამოქანების შტოს ასრიალება ყოველი კონკრეტული (**S<sub>6</sub>**) პროგრამულ საწყის დაჭიმულობამდე ხორციელდება ხრახნული დამჭიმავი მოწყობილიბის საშუალებით.

მიღებული წევის ძალების თეორიულ მნიშვნელობებს(იხ.ცხრ.1.3) ვამოწმებთ ექსპერიმენტულად, ლაბორატორიაში არსებულ სპეციალურ სტენდზე, რომლის კონსტრუქციული სქემა და გამზომიაპარატურის ტექნიკური დახასიათება მოცემულია ლაბორატორიულისამუშაოების შესრულების მეთოდური მითითებების სპეციალურთავში (იხ.1.3.თავი).

#### **1.4 სამუშაოს ჩატარების მეთოდიკა**

სტენდის სამუშაო მდგომარეობაში მოსაყვანად და სამუშაოს შესრულებისათვის საჭიროა შემდეგი ოპერაციების შესრულება:

1. დგარზე ამძრავი დოლი ფიქსირდება სამუშაოს შინაარსის შესაბამის პოზიციაში (პოზიციას მიუთითებს მასწავლებელი).
2. სტენდის სქემაში მოქნილი საწევი ორგანოს **S<sub>6</sub>** და **S<sub>14</sub>** შესაბამის შტოებში ირთვება დინამომეტრები 3 - DПY და 5 - DПY
3. ლენტის დაჭიმულობის სარეგულირებელი მექანიზმის - 4 საშუალებით გველით **S<sub>6</sub>** მნიშვნელობებს 50 – 500 ლ. ზღვრებში 50 ლ დაჭიმულობის ნაზღდის ბიჯით.
4. თითოეული ბიჯის შესაბამისად ვიღებთ დინამომეტრიდან – 5 **S<sub>14</sub>** მნიშვნელობებს.
5. ყველა ჩამონათვალი სელსაწყოს ჩვენება შეგვაქვს ცხრილში (ცხრ.1.4.)
6. ექსპერიმენტი ტარდება იმ რეჟიმის მიხედვით, რომელზეც ჩატარებულია თეორიული გათვლები.

ცხრილი 1.3 და ცხრილი 1.4-ის მონაცემების მიხედვით ნახ.1.2.-ზე წარმოდგენილ კოორდინატთა სისტემაში ვაგებთ მრუდებს, კუდარებთ თეორიულ მონაცემებს ექსპერიმენტულს და ვსაზღვრავთ ცდომილების საშუალო მნიშვნელობას. იგი არ უნდა აღემატებოდეს (10...15) %.

**F<sub>14</sub>, S<sub>14</sub>** - წევის ძალისა და სწრაფობის წერტილში მოქნილი საწევი ორგანოს დაჭიმულობის თეორიული მნიშვნელობებია.

**F<sub>33,6</sub>, S<sub>33,6</sub>** -წინას შესაბამისი სიდიდეების ექსპერიმენტული მნიშვნელობებია.

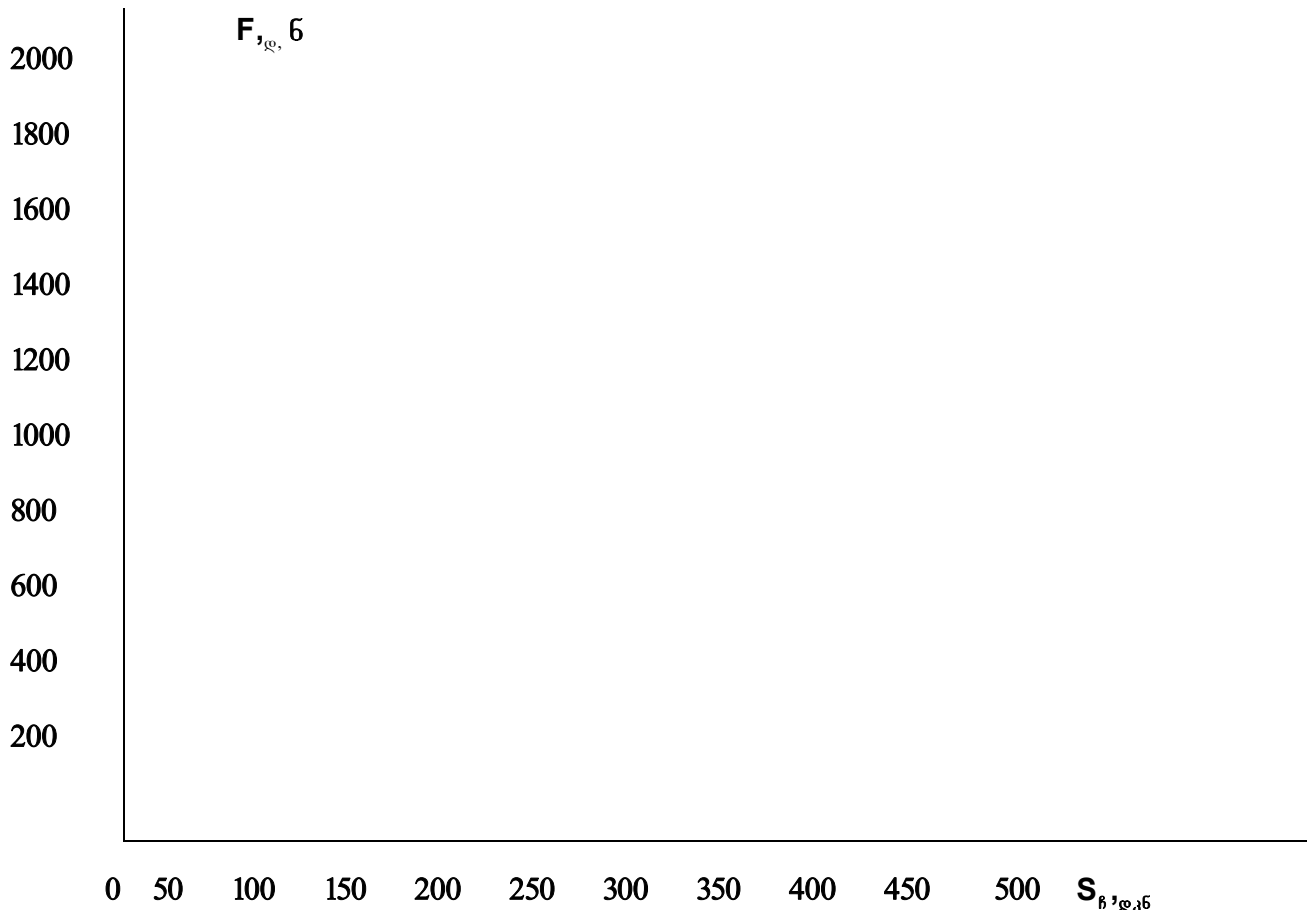
**1...n** - ცხრილებში 1,3 და 1,4 წევის ძალებისა და სწრაფობის წერტილებში

ლენტური კონვეირის ჩვეულებრივი და ვაკუუმდოლური ამძრავები - (ლაბორატორიული სამუშ.)

დაჭიმულობების რიგია საწყისი დაჭიმულობის შესაბამისად (იხ. ცხრ. 3 და ცხრ. 4).

$$\square = \frac{\sum_{i=1}^n F_{i\vartheta} - \sum_{i=1}^n F_{i\vartheta\text{საერ}}}{0,01 \cdot n \sum_{i=1}^n F_{i\vartheta\text{საერ}}} \quad (1.4)$$

$$\Delta = \frac{\sum_{i=1}^n S_{i\vartheta\vartheta\vartheta} - \sum_{i=1}^n S_{i\vartheta\vartheta\vartheta\cdot\vartheta\vartheta\vartheta}}{0,1\bar{n}\bar{n}\sum_{i=1}^n S_{i\vartheta\vartheta\vartheta\cdot\vartheta\vartheta\vartheta}} \quad (1.5)$$



ნახ. 1.2

ცხრილი 1.4.

№	$\tau \dots n$	$S_b$	1	2	3	4	5	6	7	8	9	10	შენიშვნა
			$S_{b\vartheta\vartheta\vartheta\cdot\vartheta\vartheta\vartheta}$	50	100	150	200	250	300	350	400	450	
1													
2													
3													
4													
5													
6													

### **1.5. შესრულებული სამუშაოს გაზორშება(ოქმი)**

შეადგინეთ ლაბორატორიული სტენდის პრინციპული სქემა და მოკლედ აღწერეთ (ჩაიხაზეთ 1.3 და 1.4 შესაბამისი ცხრილები). გაიანგარიშეთ ამძრავის წევითი თვისებები და მიღებული შედეგები შეიტანეთ ცხრილში 1.3.

მიღებული კონკრეტული პირობებისათვის (მიუთუთებს ლაბორატორიული სამუშაოს მასწავლებელი) ამძრავის წევითი თვისებების განსაზღვრისათვის, ლაბორატორიაში არსებულ სტენდზე ჩაატარეთ ცდები და მიღებული შედეგები შეიტანეთ ცხრილში 1.4.

1.3 და 1.4 ცხრილების მონაცემების მიხედვით **F – S<sub>f</sub>** კოორდინატებში ააგეთ მრუდები (იხ. ნახ. 1.2.) 1.4 და 1.5 გამოსახულობების მიხედვით შეაფასეთ ცდომილებები ამძრავის წევითი თვისების (ან სწრაფობის წერტილში საწევი ორგანოს დაჭიმულობის) თეორიულ და ექსპერიმენტულ შედეგებს შორის. მიღებული შედეგების მიხედვით გამოიტანეთ საერთო დასკვნები.

## ლაბორატორიული სამუშაო № 2

### 2. ლენტური კონვეიერის ვაკუუმ-ამძრავის თეორიული ფეზითი თვისების ექსპრიმენტული შემოწმება

#### 2.1 სამუშაოს მიზანი

ამ შემთხვევაში, სამუშაოს მიზანი, ჩვეულებრივი ამძრავების კვლევის ანალოგიურია. განსხვავება კი იმაში მდგომარეობს, რომ სპეცამძრავების შემთხვევაში საჭირო იქნება: პაერის ხარჯის, საკოტანქტო ზედპირებსა და რეციპიენტებში ვაკუუმის სიდიდისა და ჰერმეტიზაციის ხარისხის, შესაბამისად მოქნილი საწევი ორგანოების დაჭიმულობებისა და წევის ფაქტორების ცვლილებების ანალიზი.

#### 2.2. თეორიული ფანამძღვრები

ვაკუუმ-დოლის ნორმალური მუშაობის წინაპირობას წარმოადგენს ლენტისა და დოლის ზედაპირების ისეთი ხარისხობრივი მდგომარეობა, რომ მათ შორის მთელი კონტაქტის პერიოდში შესაძლებელი იყოს, მინიმალური დანაკარგებით, ვაკუუმის შექმნა და შენარჩუნება. ამ შემთხვევისათვის სწრაფობის წერტილში ლენტის დაჭიმულობა ან ამძრავის მიერ განვითარებული წევის ძალა შესაბამისად იქნება:

$$F_o = e^{\mu\alpha} (1 - e^{-\mu\Phi\sigma}) \cdot \sum_{I=1}^n \rho e^{-\mu(\alpha+t(K-1))} (+S_f(e^{\mu\alpha} - 1)) \quad (2.1)$$

$$F_o = e^{\mu\alpha} (1 - e^{-\mu\alpha}) \cdot \sum_{I=1}^n P e^{-\mu(\alpha+t(k-1))} + S_f^{(e^{\mu\alpha}-1)} \quad (2.2)$$

ამ გამოსახულებებში

$\mu$  - ჩაჭიდების კოეფიციენტია (იხ. ცხრ. 1.1)

$\alpha$  - დოლზე ლენტის შემთხვევის გეომეტრიული კუთხეა (ყოველ კონკრეტულ შემთხვევაში მიუთითებს მასწავლებელი).

$\delta$  - გრძივ დარებს შორის სეგმენტის შესაბამისი ცენტრალური კუთხეა ( $\delta = 0,22$  რად.,  $= 12,6$  ან მიუთითებს მასწავლებელი).

$n$  - ლენტის ქვეშ დარების რაოდენობა, რომლებშიც ხდება გაიშვიათება (აიღება კონკრეტული შემთხვევისათვის).

$P=pRB$  - საკონტაქტო ხედაპირებზე გაიშვითებით მიღებული დოლზე ლენტის დამატებითი მიჭერის ძალა, (იხ.ცხრ.2.2)

სადაც:

$P$  - გაიშვიათების სიდიდეა პასკალებში ( $N/m^2$ )

$R$  - გაძუშმ-დოლის რადიუსია, მ

$B$  - საკონვეირო ლენტის სიგანეა, მ.

$t = \beta + \delta = 0,33_{\text{რაღ}} \approx 19$  (ან მიუთითებს მასწავლებელი)

$\beta = 0,11_{\text{რაღ}} \approx 6,4$  - ცენტრალური კუთხეა, რომელსაც ეყრდნობა გრძივი დარი.

(2.1) და (2.2) გამოსახულებების შემადგენელ სიდიდეთა ანგარიში ხდება ნაწილ-ნაწილ, შემთხვევებისათვის, როდესაც  $\alpha_0 = 0$  და  $K \geq 2$  ანგარიში შეგვაქვს შესაბამისად ცხრილებში 2.1; 2.2; და 2.3.

### ცხრილი 2.1

$\mu$	0,1	0,2	0,3	0,4	0,5	0,6	0,7	0,8	0,9
$e^{\mu\alpha}$	1,369	1,87	2,56	3,51	4,81	6,586	0,01	12,34	16,9
$e^{-\mu\sigma}$	0,977	0,955	0,933	0,912	0,893	0,872	0,861	0,833	0,813
$\alpha = R_{\text{რაღ.}} \quad \sigma = 0,22_{\text{რაღ}}$									
$1 - e^{-\mu\sigma}$	0,023	0,045	0,067	0,088	0,117	0,128	0,139	0,170	0,187

### ცხრილი 2.2

$P, 10^{-5} \text{ კა}$	0,1	0,2	0,3	0,4	0,5	0,6	0,7	0,8	0,9	9,95	-1	შენიშვნა
$P=pRB, \varrho=36, R=0,18 \text{ მ}, B=0,5 \text{ მ}$	90	180	270	360	450	540	630	720	810	855	900	

### ცხრილი 2.3.

$\mu$	$e^{-\mu(\alpha_0 + (K-1)(\beta+\delta))}$									
	$\sigma + \beta = t; \quad \beta = 0,11; \quad \sigma = 0,22; \alpha = 0; t = 0,33$									
$K$	1	2	3	4	5	6	7	8	9	
0,1	1,0	0,968	0,936	0,905	0,876	,0848	,0820	0,793	0,768	
0,2	1,0	0,936	0,876	0,820	0,768	0,719	0,673	0,630	0,590	
0,3	1,0	0,905	0,820	0,743	0,673	0,609	0,552	0,500	0,453	
0,4	1,0	0,876	0,768	0,673	0,590	0,516	0,453	0,396	0,347	
0,5	1,0	0,848	0,719	0,609	0,516	0,438	0,371	0,315	0,267	
0,6	1,0	0,820	0,673	0,552	0,453	0,371	0,304	0,250	0,205	
0,7	1,0	0,793	0,630	0,500	0,396	0,315	0,250	0,198	0,157	
0,8	1,0	0,768	0,590	0,453	0,347	0,267	0,205	0,157	0,121	
0,9	1,0	0,743	0,552	0,410	0,304	0,226	0,168	0,125	0,092	

ზემოთ მოყვანილი ცხრილების საშუალებით ყოველი კონკრეტული პარამეტრებისათვის ( $\mu$ ,  $\alpha_0$ ,  $\delta$ ,  $n_g$ ,  $p$ ,  $R$ ,  $B$ ,  $\alpha_0$ ,  $t$ ,  $K$ ), (2.1) და (2.2) გამოსახულებებით შეგვიძლია ვიანგარიშოთ ვაკუუმ-დოლის თეორიული წევითი თვისებები, როგორც საწყისი (პროგრამული) დაჭიმულობით, ისე დაჭიმულობის გარეშე.

გაანგარიშებით მიღებული შედეგები შეგვაქვს ცხრილში 2.4.**F<sub>σ</sub>** და (**S<sub>bv,w</sub>**) იანგარიშება ვაკუუმ-დოლის იმ პარამეტრებისათვის, რომლისთვისაც მომზადებულია (სტენდი) ლაბორატორიული სამუშაო (მიუთითებს მასწავლებელი).

ლაბორატორიული სამუშაო სრულდება სტენდზე (ნახ.1.1) რომელიც აღწერილია ქვევით.

ცხრილი 2.4

<b>S<sub>bv,w</sub>,დგნ</b>	0	50	100	150	200	250	300	350	400	450	500
<b>S<sub>bv,w</sub>,დგნ</b>											
<b>F<sub>σ</sub>,დგნ</b>											

### 2.3. ლაბორატორიული სტანდარტული აღჭრა

სტენდის სქემა წარმოდგენილია ნახ.1.1 სტენდი შედგება შემდეგი ძირითადი ნაწილებისაგან: ამძრავი დოლისაგან - 1, რომელიც ყოველი კონკრეტული ლაბორატორიული ამოცანის შესრულებისას გარკვეული პოზიციით ფიქსირდება დგარზე დოლზე რაიმე **α(α ≤ 90...270°)** კუთხით შემოხვეულია ლენტი - 2, რომლის დოლიდან ჩამოქანების შტო დინამომეტრის - 3 საშუალებით ხისტად ფიქსირდება დგარზე; დოლზე ლენტის სწრაფობის შტო კი ფოლადის ბაგირისა და დინამომეტრი - 5 უკავშირდება ლენტის დაჭიმულობის შემქმნელ მექანიზმს - 4.

სტენდი აღჭურვილია ვენტილით - 7, ვაკუუმის წყაროსთან (წყალ-რგოლურ **BBH-3**, ან მიმდევრობითი მოქმედების ორ პლუნჯერიან **BB-2MT** ტიპის ვაკუუმ-ტუმბოსთან) მიერთებული წრფივი კოლექტორით - 14, რომლის პერმეტულად ჩაკეტილი მოცულობა (და ბოლოს ვაკუუმის წყაროს მუშა სივრცე) ვენტილებით - 6, ვაკუუმნეგრის - 8, როტამეტრის - 9 და 10-11 რეზინის სქელკედლიანი მოქნილი მილების საშუალებით უკავშირდება ვაკუუმ-დოლის ზედაპირზე განლაგებულ (ამოღარულ) თითოეულ გრძივ დარს - 13, მათში ცენტრალურად განლაგებულ ნახვრებში - 12 პერმეტულად ჩასმული მილისების საშუალებით.

მთლიანად ვაკუუმ-სისტემაში ვენტილით -7, ხოლო თითოეულ გრძივ დარში ვენტილით - 6 ხორციელდება სასურველი ვაკუუმის სიდიდემდე გაუხშოების რეგულირება.

აღწერილი სტენდით ხდება სპეციალური ამძრავის – ვაკუუმ-დოლის წევის ძალების (წევის ფაქტორის) ექსპერიმენტული კვლევა.

საკვლევი ამძრავი დოლის პარამეტრები:

- ტიპი – პგ-1.
- გრძივი დარის პარამეტრები:
  - სიგრძე - 0,42 მ.
  - სიგანე - 0,02 მ.
  - დარების რაოდენობა –  $n = 19$
  - დოლის დიამეტრი – 0,36 მ;
  - დარის ბიჯი –  $18^{\circ}57'$
  - დოლის სიგანე – 0,52 მ;

დინამომეტრების ტექნიკური მაჩვენებლები მოცემულია ერთდოლიანი ჩვეულებრივი ტიპის ამძრავის კვლევის მეთოდური მითითებების 1.3 თავში.

ვაკუუმ-დოლის თითოეულ არხში ვაკუუმის სიდიდე იზომება ვაკუუმმეტრის საშუალებით. ვაკუუმმეტრის სკალის დანაყოფი გამოხატავს (0...-1) დნ/სმ ან (0...760) მმ კ.წ.ს.

რეციპიენტის მიერ შეწოვილი პაერის რაოდენობა იზომება **PG-3** ტიპის მშრალი გაერტორის (როტამეტრის) საშუალებით, რომლის სკალის დანაყოფები შეესაბამება ლ/წთ-ს.

წრფივი კოლექტორი ერთდროულად შეიძლება დავაკავშიროთ ლენტის ქვეშ განლაგებულ ყველა გრძივ დართან ან ჩავრთოთ თითოეული თანდათანობით, როგორც დოლის პირობითი ბრუნვის საწინააღმდეგოდ, ისე თანხვედრილი მიმართულებით.

## 2.4. სამუშაოს ჩატარების მეთოდიკა

სტენდის სამუშაო მდგომარეობაში მოსაყვანად და სამუშაოს შესრულებისათვის საჭიროა შემდეგი ოპერაციების შესრულება:

1) დგარზე ამძრავი დოლი ფიქსირდება სამუშაოს შინაარსის შესაბამის პოზიციაში (პოზიციას მიუთითებს მასწავლებელი).

- 2) სტენდის სქემაში, მოქნილი ორგანოს  $S_b$  და  $S_{b\ddagger}$  შესაბამის შტოებში ირთვება დინამომეტრები 3- დПУ-5 და 5- დПУ-5,0 (ტექნიკური მონაცემები იხილეთ მეთოდური მითითებების 1.3 თავში).
- 3) ლენტის დაჭიმულობის სარეგულირებელი მექანიზმის - 4 საშუალებით ვცვლით  $S_b$  მნიშვნელობებს 0...500 დნ. ზღვრებში 50 დნ დაჭიმულობის ნაზრდის ბიჯით.
- 4) ოთორეული ბიჯის შესაბამისად ვიღებთ მე-5 დინამომეტრიდან  $S_{b\ddagger}$ -ის მნიშვნელობებს.
- 5) ექსპერიმენტის ჩატარებისას ლენტის ქვეშ განლაგებული ყველა გრძივი დარი ჩართულია წრფივ კორექტორთან და, მაშასადამე, ვაკუუმის წყაროსთან.
- 6) როტამეტრის ჩვენების მნიშვნელობით განისაზღვრება რგოლური ჭვრიტის (ლენტისა და დოლის საკონტაქტო ზედაპირების) ჰერმეტიზაციის ხარისხი.
- 7) ყველა ჩამონათვალი ხელსაწყოების ჩვენება შეგვაქვს ცხრილში (ცხრ.2.5)
- 8) ექსპერიმენტი ტარდება იმ რეჟიმის მიხედვით, რომელზეც ჩატარებულია ოთორიული გათვლები.

**შენიშვნა:** თეორიული გაანგარიშება და ექსპერიმენტული შემოწმებაც ამ შემთხვევისათვის ტარდება  $\mu_{3,7}$  პოზიციისათვის (იხ. ცხრ. 1.1).

#### ცხრილი 2.5.

$S_{b\ddagger}$	0	50	100	150	200	250	300	350	400	450	500
$P = S_{b\ddagger}$											
$P = F_{ad}$											

ცხრ.2.4 და ცხრ.2.5 მონაცემების მიხედვით ნახ.2.1. წარმოდგენილ კოორდინატთა სისტემაში ვაგებთ მრუდებს, ვუდარებთ თეორიულ მონაცემებს ექსპერიმენტულს და ვსაზღვროთ ცდომილების საშუალო მნიშვნელობას ( $\Delta$ ). იგი არ უნდა აღემატებოდეს (10...15)%.

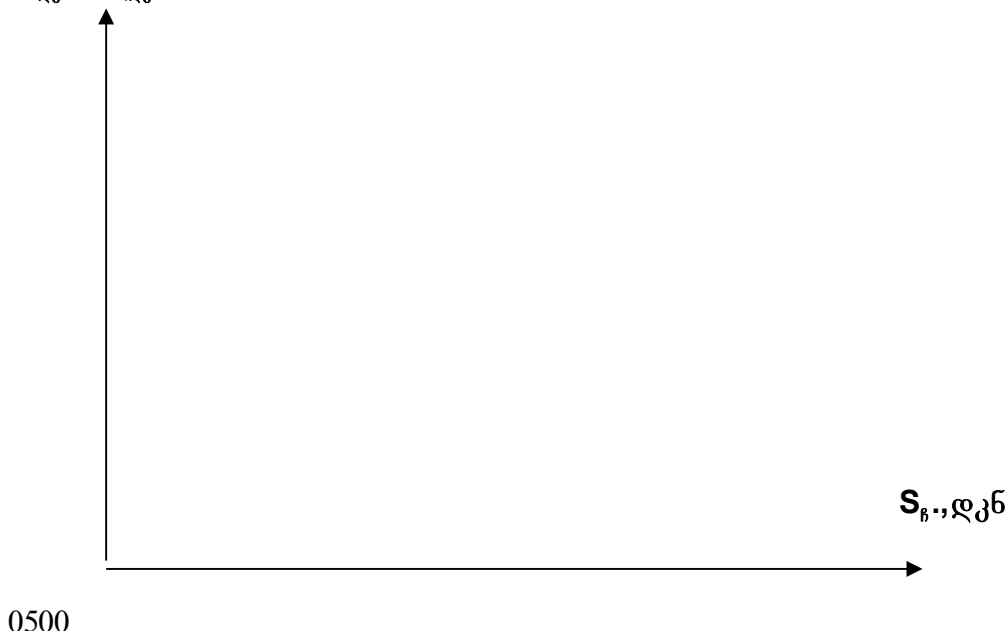
ცდომილების განსაზღვრა წარმოებს იმავე მეთოდითა დაიმავე ფორმულებით [იხ. ფორმ. (1.4) და (1.5)], რომელიც გადმოცემულია ლენტური კონვეირის ჩვეულებრივი ამძრვის კვლევის მეთოდიკის 1.4 თავში.

## 2.5. შესრულებული სამუშაოს გაფორმება (ო ქ გ 0)

შეადგინეთ ლაბორატორიული სტენდის პრინციპული სქემა და მოახდინეთ მისი მოკლე აღწერა. ჩაიხაზეთ 2.4 და 2.5 შესაბამისი ცხრილები.

2.1 ან 2.2 ფორმულებითა და ცხრილების 2.1., 2.2 და 2.3 გამოყენებით იანგარიშეთ  $S_b$  (0...500) დკნ პროგრამული დაჭიმულობისათვის (50 დკნ ისინტერვალით)  $S_{b\text{,f}}$  მნიშვნელობები. შედეგები შეიტანეთ 2.4-ის შესაბამის ცხრილში.

$F_{\text{,f},b} \cdot (S_{\text{,f},b})$  დკნ.



ნახ. 2.1

მოამზადეთ სტენდი ექსპერიმენტისათვის (ლაბორატორიული სამუშაოს მასშავლებლის დახმარებით). სამუშაოს ჩატარების მეთოდიკაში (იხ. 2.4. პარაგრაფი) აღწერილი თანამიმდევრობით ჩატარეთ ცდა და შედეგები შეიტანეთ 2.5-ის შესაბამის ცხრილში.

ნახ. 2.1-ზე მოცემულ კოორდინატთა სისტემაში ააგეთ 2.4 და 2.5 ცხრილების მონაცემებით შესაბამისი მრუდები.

პირველი სამუშაოს შესაბამისად გამოთვალეთ წევის ძალების ოკორიულ და ექსპერიმენტულ მნიშვნელობებს შორის ცდომილება და მიღებული შედეგების მიხედვით გამოიყენეთ საერთო დასკანები და შედარება ჩვეულებრივ და სპეციალურ ამძრავების მიმართ.

### ლაბორატორიული სამუშაო №3

#### 3. გაკუუმ-დოლებაში გაკუუმის ეფექტური ზონის კვლევა

##### 3.1. სამუშაოს მიზანი

ამ სამუშაოს მიზანია, ვაკუუმ-დოლებიანი ამძრავებისას, მაქსიმალური წევის ძალების განვითარებისათვის, დოლისა და ლენტის საკონტაქტო ზედაპირზე (რგოლურ ჭვრიტები) ვაკუუმის ოპტიმალური ზონის დადგენა.

##### 3.2. ტეორიული ფანამძღვრები

როგორც ცნობილია, დოლზე ლენტის მთელი შემოხვევის გეომეტრიული კუთხე

$$\alpha_{\delta} = \alpha_{\text{ლ}} + \alpha_{\text{ჭ}} \quad (3.2.)$$

კელებების შედეგად დადგენილია, რომ

$$\alpha_{\text{ა.ბ.}} = 40 \frac{\hbar}{D} \quad (3.2.)$$

ამძრავი დოლის რკალის შესაბამის კუთხეზე წევის ძალების რეალიზაციას ადგილი არა აქვს, ვინაიდან ამ უბანზე დოლსა და ლენტის საკონტაქტო ზედაპირის წერტილები ერთნაირი ხაზოვანი და კუთხური სიჩქარით მოძრაობენ; ე.ი. საკონტაქტო ზედაპირები ურთიერთის მიმართ არ გადაძრავდება. თეორიიდან კი ცნობილია, რომ გარეგანი ხახუნით წევის ძალების გადაცემის აუცილებელდა საკმარის პირობას წარმოადგენს საკონტაქტო ზედაპირების ურთიერთის მიმართ ძვრადობა.

აქედან გამომდინარე, საჭიროა დადგენილ იქნას დოლის ზედაპირის რომელ უბანზე იქნება ეფექტური ვაკუუმის შექმნა:  $\alpha_{\text{ჭ}} - \text{შედარებითი } \text{სიმშვიდის } \text{უბანზე},$  თუ  $\alpha_{\text{ლ}} - \text{დრეგადი } \text{სრიალის } \text{უბანზე}.$

(3.2.) გამოსახულებაში:  $\hbar - \text{ლენტის } \text{სისქეა, } \text{მ.}; D - \text{ამძრავი } \text{ვაკუუმ-დოლის } \text{დიამეტრია, } \text{მ.}$

ვაკუუმის ეფექტურიზონის დადგენის მიზნით ვატარებთ თეორიულ კვლევებს (2.2.) გამოსახულების პირველი შესაკრების ერთ-ერთი თანამამრავლის

$$\sum_{k=1}^{n_s} e - \mu(\alpha_0 + (\beta + \sigma)(k - 1)) \quad (3.3.)$$

ა6

$$\sum_{\kappa=n}^1 e^{-\mu(\alpha+(\beta+\sigma)(\kappa-1))} \quad (3.4.)$$

ანალიზით

ცხრილი 3.1.

$\sum_{k=1}^n e^{-\mu(\alpha+(\beta+\sigma)(k-1))}; \quad \alpha = 0; \beta = 0,11; \delta = 0,22; t = 0,33$										
$\mu$	$\sum K$	$n=1$ 1	$n=2$ 1,2	$n=3$ 1,2,3	$n=4$ 1..4	$n=5$ 1..5	$n=6$ 1..6	$n=7$ 1..7	$n=8$ 1..8	$n=9$ 1..9
0,1	1,000	1,9675	2,9036	3,8094	4,6857	5,5336	6,3540	7,1477	7,9157	
0,2	1,000	1,9361	2,8124	3,6328	4,4008	5,1197	5,7927	6,4227	7,0125	
0,3	1,000	1,9057	2,7261	3,4691	4,1421	4,7517	5,3038	5,8039	6,2568	
0,4	1,000	1,8763	2,6443	3,3173	3,9071	4,4239	4,8768	5,2738	5,6216	
0,5	1,000	1,8478	2,5668	3,1763	3,6932	4,1314	4,5030	4,8181	5,0852	
0,6	1,000	1,8203	2,4933	3,0454	3,4984	3,8700	4,1748	4,4249	4,6300	
0,7	1,000	1,7937	2,4237	2,9238	3,3207	3,6358	3,8858	4,0843	4,2419	
0,8	1,000	1,7679	2,3577	2,8106	3,1585	3,4256	3,6308	3,7883	3,9093	
0,9	1,000	1,7430	2,2951	2,7054	3,0102	3,2367	3,5050	3,5300	3,6230	

ცხრილი 3.2.

$\sum_{k=n}^1 e^{-\mu(\alpha+(\kappa-1)(\sigma+\beta))} \alpha = 0; \beta = 0,11; \sigma = 0,22 t = 0,33$										
$\mu$	$\sum K$	$n=1$ 9	$n=2$ 9,8	$n=3$ 9, 8, 7	$n=4$ 9..6	$n=5$ 9..5	$n=6$ 9..4	$n=7$ 9..3	$n=8$ 9..2	$n=9$ 9..1
0,1	0,7679	1,5617	2,3820	3,2299	4,1063	5,0120	5,9431	6,9157	7,9157	
0,2	0,5897	1,2198	1,8928	2,6117	3,3997	4,2000	5,0764	6,0125	7,0125	
0,3	0,4529	0,9530	1,5051	2,1146	2,7877	3,5307	4,3511	5,2568	6,2568	
0,4	0,3478	0,7447	1,1977	1,7145	2,3043	2,9773	3,7453	4,6216	5,6216	
0,5	0,2671	0,5821	0,9537	1,3920	1,9088	2,5184	3,2373	4,0852	5,0852	
0,6	0,2051	0,4552	0,7600	1,1316	1,5845	2,1366	2,8096	3,6300	4,6300	
0,7	0,1575	0,3560	0,6061	0,9211	1,3181	1,8181	2,4482	3,2419	4,2419	
0,8	0,1209	0,2785	0,4837	0,7508	0,0986	1,5516	2,1414	2,9093	3,9093	
0,9	0,0929	0,2129	0,3862	0,6127	0,9176	1,3276	1,8799	2,6230	3,6230	

ლაბორატორიული სამუშაოს შესრულების პროცესის გამარტივების მიზნით (3.3.) და (3.4.) გამოსახულებების ანალიზი ყველა მისი პარამეტრების შესაძლო ვარიაციის გათვალისწინებით შესრულებულია წინასწარ და წარმოდგენილია (3.1) და (3.2) ცხრილებში.

ლაბორატორიული სამუშაოს შესრულების შემდგომ ეტაპზე საჭიროა, განტოლებით

$$F_a = e^{\mu\alpha} (1 - e^{-\mu\sigma}) \sum_k P_e^{-\mu(\alpha+t(\kappa-1))} + S_b (e^{\mu\alpha} - 1) \quad (3.5.)$$

(3.3.) და (3.4) გამოსახულებების (3.1 და 3.2 ცხრილის შედეგების) გათვალისწინებით გამოითვალოს **F<sub>0</sub>** - ს ყველა (მასწავლებლის მიერ მითითებული) ვარიანტი და შედეგები შეტანილ იქნეს ცხრილებში [ცხრ.3.3.-ში (3.3.) გამოსახულების გათვალისწინებით და ცხრ.3.4.-ში – (3.4.) გამოსახულების გათვალისწინებით].

(3.3.) და (3.4) ცხრილებში მიღებული შედეგები მოწმდება ექსპერიმენტის გზით ლაბორატორიულ სტენდზე, რომლის აღწერა და ტექნიკური აღჭურვილობა მოცემული არის წინამდებარე მეთოდური მითითების 2.3. პარაგრაფში.

### **3.3. სამუშაოს ჩატარების მეთოდიკა**

სტენდის სამუშაო მდგომარეობაში მოსაყვანად და ამ სამუშაოს ჩასატარებლად საჭიროა 2.4. პარაგრაფში აღწერილი პირველი ოთხი ოპერაციის შესრულება. სამუშაოს გასაგრძელებლად კი დამატებით უნდა ჩატარდეს შემდეგი ოპერაციები:

ა) ამძრავზე, ლენტის ჩამოქანების შტოს მხრიდან, დოლის გრძივი დარები, რაოდენობის თანდათანობით მატებით, წრფივი კოლექტორის საშუალებით უკავშირდება ვაკუუმის წყაროს (ვაკუუმ-ტუმბოს). მაგალითად: ჯერ ერთიდარი №1, შემდგომ ორი დარი №1 + №2 და ა.შ. ექსპერიმენტის ამ ეტაპის დასასრულს ვაკუუმ-ტუმბოსთან ჩართული უნდა იყოს ლენტის ქვეშ განლაგებული დოლის ყველა გრძივი დარი (№1 + №2+ . . . + №n). ჩდების შედეგები შეგვაქვს ცხრილში 3.3.

ბ) ამძრავზე ლენტის სწრაფობის შტოს მხრიდან, დოლის გრძივი დარები, რაოდენობის თანდათანობით მატებით, წრფივი კოლექტორის საშუალებით უკავშირდება ვაკუუმის წყაროს. ასე მაგალითად: ჯერ ერთი დარი - №n, შემდეგ ორი დარი №n+ №n-1 და ა.შ. ექსპერიმენტის ამ ეტაპის დასასრულს ვაკუუმ-ტუმბოსთან ჩართული უნდა იყოს ლენტის ქვეშ განლაგებული დოლის ყველა გრძივი დარი №n+ №n+1+ . . . 1. ცდის შედეგები შეგვაქვს ცხრილში 3.4.

დოლის გრძივი დარების დანომვრა ლენტის ქვეშ ხდება 1,2...n დოლიდან ლენტის ჩამოქანების წერტილიდან სწრაფობის წერტილისაკენ n - ლენტის ქვეშ დოლზე ლენტის სწრაფობის მხარეს განლაგებული ბოლო გრძივი დარის ნომერია.

ექსპერიმენტი ტარდება იმ რეჟიმის მიხედვით, რომელზეც ჩატარებულია თეორიული გათვლები. მონაცემები შეგვაქვს ცხრ. 3.3. და 3.4. შესაბამის გრაფებში.

ცხრ. (3.3) და ცხრ. (3.4) მონაცემების მიხედვით ნახ. (3.1) წარმოდგენილ კოორდინატთა სისტემაში ვაგებთ მრუდებს. კუდარებთ თეორიულ მონაცემებს

ექსპერიმენტულს და ვსაზღვრავთ ცდომილების საშუალო მნიშვნელობებს (Δ). იგი არ უნდა აღემატებოდეს (10. . . 15) %.

ცდომილების განსაზღვრა წარმოებს იმავე მეთოდითა და იმავე ფორმულებით [იხ. ფორმულები (1.4) და (1.5)], რომელიც გადმოცემულია ლენტური კონვეირის კვლევის წინამდებარე მეთოდური სამუშაოს 1.4. თავში.

სამივე ლაბორატორიული სამუშაოს შესრულების შემდეგ გამოგვაქვს დასკვნები როგორც ცალკეულ ამოცანაზე, ისე ზოგადად მთელ სამუშაოზე მთლანად.

### 3.4. შესრულებული სამუშაოს გაზორმება (ო ქ მ ო)

შეადგინეთ ლაბორატორიული სამუშაოს პრინციპული სქემა დოლის დარების ნორმების ჩვენებით და მოახდინეთ მისი მოკლე აღწერა. ჩაიხაზეთ 3.3. და 3.4 შესაბამისი ცხრილები. დაადგინეთ რიცხვითი მნიშვნელობები  $e^{\mu\alpha}$ -თვის ცხრილიდან 1.2 და  $(1-e^{-\mu\alpha})$ -თვის ცხრილიდან 2.1.

3.3. და 3.4. გამოსახულებების მნიშვნელობები იპოვეთ შესაბამისად ცხრილებიდან.  $\mathbf{P} = \mathbf{pRB} - \mathbf{s}$  მნიშვნელობა 2.2. ცხრილიდან.

$$\mathbf{F}_{\text{ს.}} \cdot (\mathbf{S}_{\text{ს.}}).$$



ნახ.3.1.

აღნიშნული ოპერაციების შესრულების შემდეგ 3.5. გამოსახულებით იპოვეთ  $\mathbf{F}_{\text{ს.}}$  – ის მნიშვნელობები, როდესაც:

- ა) დოლის ზედაპირის სამუშაო დარები კოლექტორის ვაკუუმ-ტუმბოს უერთდება ლენტის ჩამოქანებიდან სწრაფობის წერტილისაკენ  $(\sum_{k=1}^n)$ , შედეგები შეიტანეთ ცხრილი 3.3.-ის შესაბამის განყოფილებაში;

ბ) დოლის ზედაპირის მუშა დარები, ქოლექტორით, ვაკუუმ-ტუმბოს უერთდება ლენტის სწრაფობიდან ჩამოქანების წერტილისაკენ  $(\sum_{k=n}^1)$  და შედეგები

შეიტანეთ ცხრილში 3.4-ის შესაბამის განყოფილებაში.

თეორიული გათვლებისას მიღებული ანალოგიური პირობებისათვის მოამზადეთ სტენდი ექსპერიმენტისათვის (ლაბორატორიული სამუშაოს მასწავლებლის დახმარებით) სამუშაოს ჩატარების მეთოდიკაში (იხ.3.3. პარაგრაფი) აღწერილი თანამიმდევრობით, ჩატარეთ ცდები და შედეგები შეიტანეთ 3.3 და 3.4 შესაბამისი ცხრილების სათანადო განყოფილებებში.

ნახ.3.1 – ზე მოცემულ კოორდინატთა სისტემაში ააგეთ 3.3 და 3.4. ცხრილის მონაცემებით შესაბამისი მრუდები.

პირველი და მეორე სამუშაოს შესაბამისად გამოთვალეთ ცდომილებები თეორიული გამოთვლებით და ექსპერიმენტით მიღებულ ერთსახელა სიდიდეებს შორის და მიღებული შედეგების მიხედვით გამოიტანეთ საერთო დასკვნები დოლის ზედაპირზე ვაკუუმის ზონის ეფექტური განლაგების ანალიზისათვის.

### ცხრილი 3.3

ვაკუუმ - დოლის წევის ძალა $F_{\text{თვ.}}(S_{b_{\text{v.}}})$									
$E_k$	$n = 1$ 1	$n = 2$ 1, 2	$n = 3$ 1, 2, 3	$n = 4$ 1..4	$n = 5$ 1..5	$n = 6$ 1..6	$n = 7$ 1..7	$n = 8$ 1..8	$n = 9$ 1..9
0									
50									
200									
400									
500									

ვაკუუმ - დოლის წევის ძალა $F_{\text{ექ.}}(S_{b_{\text{v.}}}), \text{ლ.}$									
0									
50									
200									
400									
500									

ცხრილი 3.4.

გაპუშტ-დოლისწევისძალა $F_{\sigma,\text{დნ.}}$									
$\sum \kappa$ $S_{f,\text{დნ.}}$	$n=1$	$n=2$	$n=3$	$n=4$	$n=5$	$n=6$	$n=7$	$n=8$	$n=9$
0									
50									
200									
400									
500									
გაპუშტ-დოლისწევისძალა $F_{\text{აქსი,დნ.}}$									
0									
50									
200									
400									
500									

საერთო დასკვნები

Nº1 – ლაბორატორიულ სამუშაოზე:

Nº 2 - ლაბორატორიულ სამუშაოზე:

Nº3 - ლაბორატორიულ სამუშაოზე:

## ლიტერატურა

1. Крагельский И.В., Виноградова И.Э. Коеффициенты трения справочное пособие М.1962,220 с.
2. Трение и износ в вакууме М. «Машиностроение» 1973 Авт.: Крагельский И.В. и др.216 с.
3. Молодини Н.Ш. Приводной барабан ленточного конвейера. А.С. №543574, БИ №3, 1977.
4. Мур Д. Трение и смазка эластомеров США,1972 пер сангл. Г.И.Бродского, М.1977, 264с

## ს ა რ ჩ ე ვ ი

შესაბალი	- - - - -	გვ. 3
1. ლენტური კონვეიერის ერთდოლიანი ჩვეულებრივი ამძრავის თეორიული შევითი თვისების ექსპრიმენტული გემოზება	- - - - -	გვ. 3
2. ლენტური კონვეიერის გაკუზა-ამძრავის თეორიული შევითი თვისების ექსპრიმენტული შემოზება	- - - - -	გვ. 14
3. გაკუზა-დოლებები გაკუზის ეფექტური ზონის კვლევა	- - - - -	გვ. 20
საერთო დასკვნები	- - - - -	გვ. 25
ლიტერატურა	- - - - -	გვ. 26

რედაქტორი ბ. ცხადაძე

რედაქტორი ბ. ცხადაძე

გადაეცა წარმოებას 16.03.2016. სელმოწერილია დასაბუჭიდად 12.12.2018.  
ქაღალდის ზომა 60X84 1/8. პირობითი ნაბეჭდი თაბახი 1,5.

საგამომცემლო სახლი „ტექნიკური უნივერსიტეტი“, თბილისი, კოსტავას 77

